



КҮЁШ КОЛЛЕКТОРЛЫ СУВЛИ ИССИҚ ПОЛ ҚҰВУРИДА ИССИҚ СУВНИНГ ЛАМИНАР ОҚИМІДА ИССИҚЛІК АЛМАШИНУВ ЖАРАӘНЛАРЫННИ МОДЕЛЛАШТИРИШ

тәжінчі докторант С.И.Хамраев т.ф.ф.д., (PhD) У.Х.Ибрағимов

тәжінчі докторант Б.И.Камалов магистр З.К.Зұрайтова

Карина мұхандислик-штиссодиёт институты

Аннотация: В данной статье приведены результаты экспериментального исследования процессов теплообмена при ламинарном режиме течения горячей воды, движущейся по трубам теплого пола при энергосбережении с использованием солнечной энергии в системе водяного теплого пола и эмпирические уравнения, полученные в результате обработки результатов, а также представлена результаты оптимизации параметров системы теплого пола в режиме ламинарного потока.

Ключевые слова: теплый пол, диаметр трубы, шаг трубы, ламинарный режим, теплоотдача, шаг расположения.

Abstract: This article presents the results of an experimental study of heat transfer processes in the laminar flow of hot water moving through pipes of a warm floor with energy saving using solar energy in a water-heated floor system and empirical equations obtained as a result of processing the results, as well as the results of optimizing the parameters underfloor heating systems in laminar flow mode.

Keywords: underfloor heating, pipe diameter, pipe pitch, laminar flow, heat transfer, location step.

Хозирги заманда ахоли яшаш үйларидан кулагай шароиттің яратыны, ахолиниң ішін давомида үзүлкесиз иссиклік ва иссик сүн билан таъминлашында күёш коллекторлардың сувли иссик пол тизимдеріндең фойдаланыши мұхим масалалардан бири ҳисобланады [1]. Суван иссик пол тизимдеріндең күвурлары орқали иссик сүндән үзатылаёттан иссиклік салынады. Самаралы фойдаланыши, күвурлар диаметри ва жойлашының кадамшының иссиклік беріштегі таасирини үрганында иссик пол тизимдеріндең параметрлерінің оптималлаштырылуы буйынша кам соңли тәжікшелер борылған бўлиб, улар инти үрнатылаёттан сувли иссик пол тизимини лойиха да олардың учун етарлар ҳисобланады. Юкорида көлтирилганларни инебатта олган холда муаллифлар томонидан иссик пол тизимдеріндең күвурларында оқаёттап иссик сүннинг ламинар оқим режимінде иссиклік алмашинув жараёнлари түликтің тәжікот көлиниң иссик пол тизимдеріндең параметрлерін оптималлаштырылады. Иссик пол күвурларында иссиклік алмашинув жараённан мұхим бўлиб, иссиклік бинога берилешінде тизимнинг оптималь параметрлерини аниклаш учун тәжікотлар ўтказилди.

Иссиклік алмашинуны мавжуд бўлганда, ламинар оқим режимининг көвушкож-гравитацион соҳасында силлик күвурларда иссиклік беріш күйидагыча аникланади [2]:

$$Nu = 1,4 \left(Re \frac{d}{l} \right)^{0.8} Pr^{0.33} \left(\frac{Pr}{Pr_A} \right)^{0.25} \quad (1)$$

бу срода d – күвурнинг ички диаметри, м; l – күвурнинг умумий узунлиги, м.

(1) формула $10 < Re < 2300$, $0,06 \leq Pr/Pr_A \leq 10$, $l/d > 10$ оралыкларда үрнили ҳисобланады.

Силлик күвурларда турбулент оқим режимінде иссиклік беріш күйидагыча аникланади [2]:

$$Nu = 0,021 Re^{0.8} Pr^{0.43} \left(\frac{Pr}{Pr_A} \right)^{0.25} \epsilon_l \quad (2)$$

Аниклович ўлчам сифатында күвурнинг ички диаметри кабул келинади. ϵ_l – коэффициент иссиклік беріш коэффициентини күвур узунлиги буйынша ўзгаришини





иnobатта олади. Агар $l/d \geq 50$ бұлса $\epsilon_l = 1$. $l/d < 50$ бүтіндеңде башланғыч участканың тұсында иnobатта олиш зарур.

Иссик сұдан иссик пол күвүри деворига иссиклик беріш көзғыншыны:

$$\alpha = \frac{Nu\lambda}{d} \quad (3)$$

бу ерда λ – иссик сұвиннан иссиклик үтказуучылық көзғыншыны, $\text{Вт}/(\text{м}^2\text{°C})$.

Солиңтира маиси оқимы күйидеги формуладан хисобланады [1]:

$$q = \alpha(t_s - t_a) \quad (4)$$

бу ерда t_s – пол қозасындағы ҳарорат, $^{\circ}\text{C}$; t_a – хона ичидеги ҳарорат, $^{\circ}\text{C}$.

Иссик пол тизимидан үзатылған иссиклик міндори:

$$Q = qF \quad (5)$$

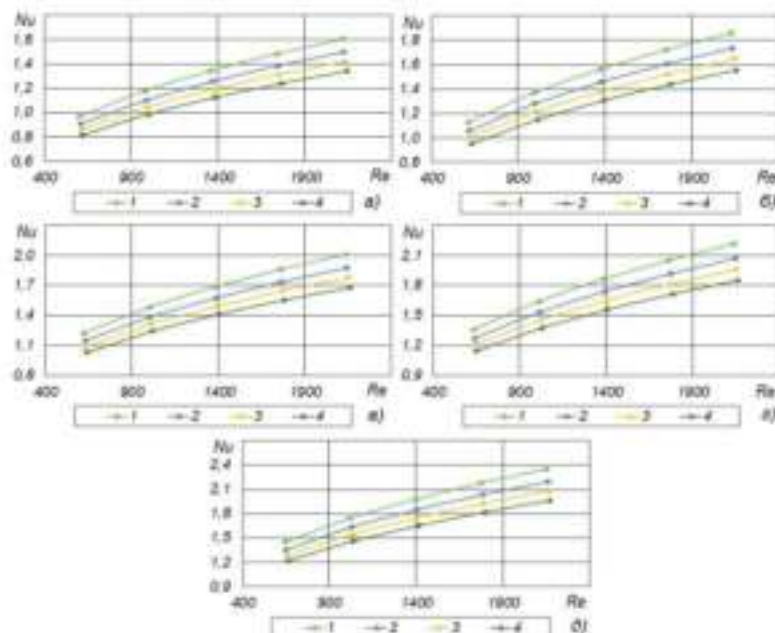
бу ерда F – қувуриннан умумий иссиклик алмашинын қозасы майдони, м^2 .

Тажриба тәжіректеринде үтказында хона полининг қозасындағы максимал рухсат этилген ҳарорат асосынан омыллардан бири хисобланады, уннан жайылтарини [3] га мұвоғиқ кабул келген мүмкін:

- уй ичи йүлакларыда - 21°C ;
- донийй түриш хоналарыда - 26°C ;
- намлығы юкоры бүлгелі донийй түриш хоналарыда - 31°C ;
- вактически түриш хоналарыда - 35°C .

Олиб борилған тажрибаларда хона ичидеги ҳаво ҳарорати 20°C , пол қозасындағы ҳарорат 26°C кабул келді [3]. Суды иссик пол күвүри жойлашынаннан түрли қадамларыда ($s = 0,1 \text{ м}$, $s = 0,15 \text{ м}$, $s = 0,2 \text{ м}$, $s = 0,25 \text{ м}$, $s = 0,3 \text{ м}$) иссик сұвиннан ламинар ва турбулент оқим режимдерінде иссик пол қозасынан иссиклик беріш көзғыншыны, конвектив иссиклик алмашинын үзатылған иссиклик міндори бүйінша олинған тажриба нәтижелері $Nu = f(Re)$, $\alpha = f(Re)$ ва $Q = f(Re)$ болындык графигі шақырылды.

I-расмда иссик сұвиннан ламинар оқим режимінде иссик пол күвуриннан түрли жойлашынан қадамыда үзатылған иссиклик түрли ҳароратларыда күвуриннан иссиклик беріш көзғыншынан бүйінша тажриба нәтижелері көлтирилді.



I-расм. Ламинар оқим режимінде иссиклик алмашинын көзғыншынан иссик пол күвуриннан жойлашынан қадамыда үзатылған иссик сұя ҳароратына болындык ҳолда үзгариши:

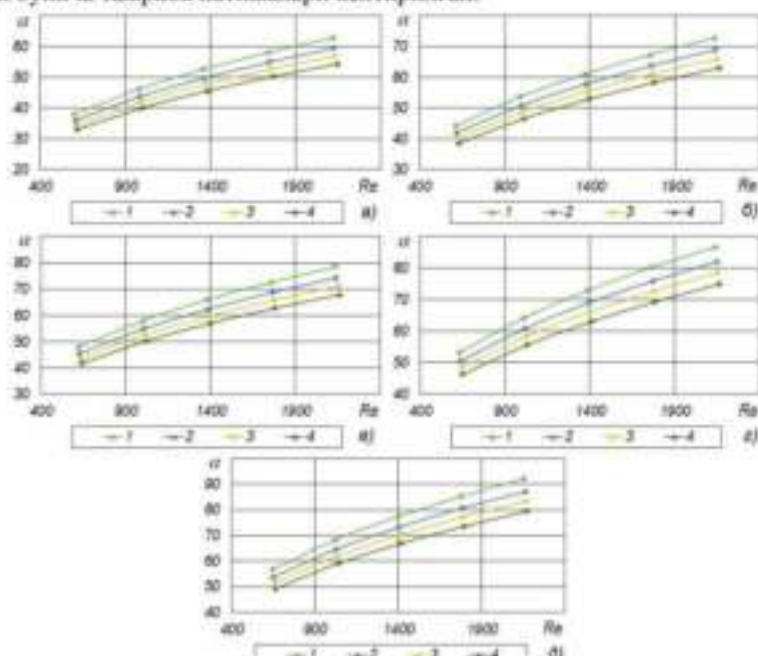




$a-s=100 \text{ mm}$; $b-s=150 \text{ mm}$; $v-s=200 \text{ mm}$; $r-s=250 \text{ mm}$; $d-s=300 \text{ mm}$;
 $1-t_c = 35^\circ\text{C}$; $2-t_c = 40^\circ\text{C}$; $3-t_c = 45^\circ\text{C}$; $4-t_c = 50^\circ\text{C}$

1-расмда көлтирилған графиктар бүйічка иссиктік беріш коеффициенттерінің натижалары тақдилі шуның күрсатады, иссик пол күвурининг иссиктік беріш коеффициенттері күвурларни жойлашының кадамына да иссик сувининг ҳарораттың сезілдерінің даражада бөглиқ бўлиб, күвур жойлашының кадамын ортиши да иссик сув ҳароратынің камайышы билан иссиктік беріш коеффициенттері ортиб боради. Тажриба натижаларынга кўра ламинар оқим режимидә жойлашының кадамы 100 mm бўлганда иссиктік беріш коеффициенти 0,82..1,61, 150 mm бўлганда 0,95..1,13, 200 mm бўлганда 1,03..2,01, 250 mm бўлганда 1,14..2,22, 300 mm бўлганда 1,22..2,35 оралигидаги ўзгариши аниқланды.

2-расмда иссик сувининг ламинар оқим режимидә иссик пол күвурининг турли жойлашының кадамыда да иссик сувининг турли ҳароратларидаги күвурда конвектив иссиктік алмашинуви бўйича тажриба натижалары көлтирилған.



2-расм. Ламинар оқим режимидә күвурда конвектив иссиктік алмашинуви коеффициенттерінің (α , $\text{Wt}/(\text{m}^2 \cdot ^\circ\text{C})$) иссик пол күвуринин жойлашының кадамына да иссик сув ҳароратыга бөглиқ ҳолда ўзгариши:

$a-s=100 \text{ mm}$; $b-s=150 \text{ mm}$; $v-s=200 \text{ mm}$; $r-s=250 \text{ mm}$; $d-s=300 \text{ mm}$;
 $1-t_c = 35^\circ\text{C}$; $2-t_c = 40^\circ\text{C}$; $3-t_c = 45^\circ\text{C}$; $4-t_c = 50^\circ\text{C}$

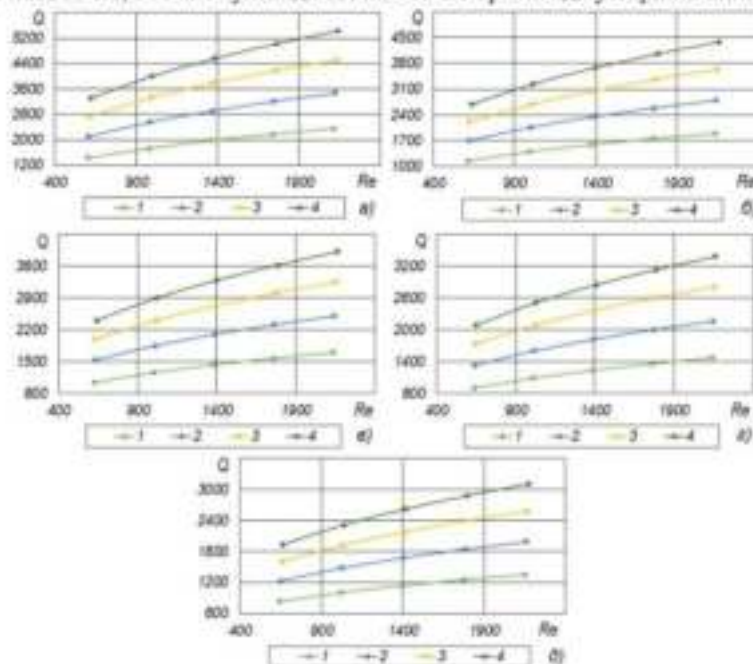
2-расмда көлтирилған күвурда конвектив иссиктік алмашинуви натижалары тақдилі шуның күрсатады, иссик пол күвурда конвектив иссиктік алмашинуви күвурининг жойлашының кадамына да иссик сувининг ҳарораттың сезілдерінің даражада бөглиқ бўлиб, күвур жойлашының кадамын ортиши да иссик сувининг ҳароратынің камайышы билан конвектив иссиктік алмашинуви ортиб боради. Тажриба натижаларынга кўра ламинар оқим режимидә жойлашының кадамы 100 mm бўлганда конвектив иссиктік алмашинуви 33..63 $\text{Wt}/(\text{m}^2 \cdot ^\circ\text{C})$, 150 mm бўлганда 39..73 $\text{Wt}/(\text{m}^2 \cdot ^\circ\text{C})$, 200 mm бўлганда 42..79 $\text{Wt}/(\text{m}^2 \cdot ^\circ\text{C})$, 250 mm бўлганда 46..87 $\text{Wt}/(\text{m}^2 \cdot ^\circ\text{C})$, 300 mm бўлганда 49..92 $\text{Wt}/(\text{m}^2 \cdot ^\circ\text{C})$ оралигидаги ўзгариши аниқланды.

3-расмда иссик сувининг ламинар оқим режимидә иссик пол күвурининг турли жойлашының кадамыда да иссик сувининг турли ҳароратларидаги күвурдан пол юласында үзатылған иссиктік микдори бўйича тажриба натижалари көлтирилған. 3-расмда көлтирилған пол





юзасынға узатылған иссекілік міндердің натижалары тақтадылы шунда күрсатады, узатылған иссекілік міндердің күвүрнінг жойлашында кадамнан да иссек сүннінг ҳарораттың сезіларлы даражада болғып бўлиб, күнурни жойлашында камайышында иссек сүн ҳарораттың ортиши билди узатылған иссекілік міндердің ортиг боради. Тажриба натижаларында күра ламинар оқим режимінде жойлашында кадамнан 100 мм бўлгандага узатылған иссекілік міндерді 1426...5438 Вт, 150 мм бўлгандага 1155...4384 Вт, 200 мм бўлгандага 1040...3923 Вт, 250 мм бўлгандага 904...3389 Вт, 300 мм бўлгандага 835...3115 Вт оралығыда ўзгарыш анықланды.



3-расм. Ламинар оқим режимінде күвүрдан пол юзасынға узатылған иссекілік міндердіннін (Q , Вт) күвүрни жойлашында кадамнан да иссек сүн ҳарораттың болғық ҳолда ўзгарышы:

а- $s=100$ мм; б- $s=150$ мм; в- $s=200$ мм; г- $s=250$ мм; д- $s=300$ мм;

1- $t_c = 35^\circ\text{C}$; 2- $t_c = 40^\circ\text{C}$; 3- $t_c = 45^\circ\text{C}$; 4- $t_c = 50^\circ\text{C}$

Ламинар оқим режимінде иссекілік беріш бўйича олинган тажриба натижалары қайта ишланиб күвүрнінг турли жойлашында кадамларда куйидаги эмпирик бөлликтислар олинди:

$s = 100$ мм бўлгандага:

$$Nu = 0,03Re^{0,4}Pr^{0,58} \quad (6)$$

$s = 150$ мм бўлгандага:

$$Nu = 0,035Re^{0,4}Pr^{0,58} \quad (7)$$

$s = 200$ мм бўлгандага:

$$Nu = 0,037Re^{0,4}Pr^{0,58} \quad (8)$$

$s = 250$ мм бўлгандага:

$$Nu = 0,041Re^{0,4}Pr^{0,58} \quad (9)$$

$s = 300$ мм бўлгандага:

$$Nu = 0,044Re^{0,4}Pr^{0,58} \quad (10)$$

Юкоридаги тенглемалардин умумлашган ҳолатда куйидаги тенглема олинди:

$$Nu = 0,066Re^{0,4}Pr^{0,58}z^{0,34} \quad (11)$$

Олинган (11) бөлликтин 400< Re <2200, 3,54< Pr_c <4,86 оралыкларда ўринили. Ҳисоблаш хатолиги $\pm 2\%$ ин ташкыл этади.





Иссиқлик алмашынув тәжікотининг назарий ва тажриба натижаларининг адекватлігінің бағаланы. Адекватлік Фишер мезони бүйіча бағаланады.

4-расмда күвүрда ламинар оқим режимінде иссиқлик берішини анықлаш бүйіча олинған назарий ва тажриба натижаларини тақослаш күрсатылған.

Фишер мезони кийматлары жадвалдан ишончлы әхтимоллик $P=0,99$, әркінлік даражасы $f_1 = 95$ ва күзатыштар соны $n = 99$ холға мөс келүүчі $F_x = 0,62$ кийматын топамыз. (11) формула учун Фишер мезонининг ҳисобий кийматы $F_x = 0,28$. Күршиб турибдикі $F_x < F_{x_0}$, демек модель адекват.



4-расм. Ламинар оқим режимінде иссиқлик беріши бүйіча олинған назарий ва тажриба натижаларини таққослаш:

1-назарий (4.24 формула) натижалар; 2-тажриба (4.34 формула) натижалары

Иссиқ пол күвүрларында иссиқлик берішини анықлаш учуң олинған эмпірик болгарниклар тажриба натижалари билан түлік адекват бўлиб, улардан иссиқ сувининг ламинар оқим режимлариди күёш коллектордан иссиқ пол тизимининг иссиқлик самарарадорлігини бағалашда фойдаланиш мумкин.

Күёш коллекторлы иссиқ пол тизимининг параметрларини оптималлаштырыш. Иссиқ пол тизимининг параметрларини оптималлаштырыш мезони ва услуби Н.И. Гальперин, А.А. Гухман, В.В. Кафаров, М.В. Киричев, Л.З. Мельцер, А.С. Невский, С.Г. Чуклин, Г.Е. Каневец каби тәжікотчиларнинг ишлариди битағасын көлтирилған [4]. Оптималлаштырыш мезонининг энг түлік рўйхати [4] да көлтирилған. Барча мезондар шартлы равищда бешта гуруга бўлинига: энергетик, термодинамик, натурал күрсаткычлар, интисодий ва комбинациялашган (солишириш). Ҳозирги кунда иссиқлик энергетикаси соҳасида оптималлаштыриш масаласини сиптида энергетик мезонлар энг кўп кўлланилади. Энергетик мезонларнинг ичига энг кўп Глазер мезони (иссиқлик-гидродинамик самарарадорлик, күвватлар коэффициенти), Киричев мезони ва энергетик коэффициент кўлланолади.

$$\text{Глазер мезони: } \eta_r = \frac{Q}{N} \rightarrow \text{макс} \quad (12)$$

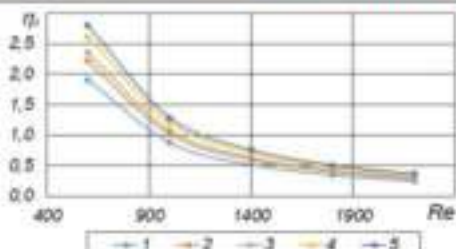
$$\text{Киричев мезони: } E = \frac{Q}{AL} \rightarrow \text{макс} \quad (13)$$

$$\text{Энергетик коэффициент: } \eta_a = \frac{a}{AN} \rightarrow \text{макс} \quad (14)$$

бу ерда Q – иссиқ пол күвүрдан узатылған иссиқлик мөндори, Вт; N – насос күвваты, Вт; AL – насос ёки компрессор иши (гидравлик каршиликларни сингишга сарфланған), Вт; a – иссиқлик беріши коэффициенти, Вт/(м²·°C).

Биздиннег холда Глазер мезонидан фойдаланилди ва иссиқ сувининг ламинар оқим режимінде иссиқ пол тизимининг параметрлари оптималлаштырилди. Иссиқ сувининг ламинар оқим режимінде Глазер мезони бүйіча олинған натижалар $\eta_r = f(Re)$ болгарник шакида 5-расмда көлтирилған.





5-расм. Ламинар оқым режимида иссик пол тизимининг параметрларини оптималлаштириши натижалари:

1- $s=100$ мм; 2- $s=150$ мм; 3- $s=200$ мм; 4- $s=250$ мм; 5- $s=300$ мм

5-расмдан күрініп турибдікі, ламинар оқым режимининг $Re=600-1000$ оразында иссик пол тизими зерттеуде жокори иссиклик-гидродинамик самарадорлық зәңбектерде салынған. Ушбу соңада күвүрнининг оптималь диаметри $d=0,016$ м ва жойлашыннан кадамы $s=0,3$ м, сұннинг сарғы $G=0,005-0,008$ кг/с. Ушбу параметрлардан иссиклик-гидродинамик самарадорлық ламинар оқым режимининг колтаң соңасынан 2,5 мартага жеткізу мүмкін.

Хуносас. Күеш коллекторларды иссик пол тизимининг силдик күвүрнің иссик сұннинг ламинар оқым режимінде үтказылған тажриба тәжірибелерінде, иссик сұннинг қарораты ва күвүрларның жойлашыннан кадамы иссиклик беріш көзғыншыннан салынған тәсислердің күйінде жайылған. Қароратын ортасынан күвүрлар жойлашыннан кадамынан камайыншы билан иссиклик беріш көзғыншыннан ортада. Тажриба натижаларынан кайта ишлеши натижасында күеш коллекторларды иссик пол тизимининг күвүрнің ламинар оқым режимінде иссиклик беріш көзғыншыннан аниклаш бүйірчы эмпирик болгындардан олардың Олингандың эмпирик болгындарынан натижалары маълум назарий формулаларынан бүйірчы хисоблаштырылады. Силдик күвүрнің гидравликалық каршилик бүйірчы тажриба натижаларынан таклиф этилган эмпирик болгындардан оғиші $\pm 2\%$ ни тапсылған. Ушбу оғиш атроф-мухиттегі иссиклик нүктелішінен болған болгын Олингандың эмпирик моделдердің адекваттілігі Фишер мезони бүйірчы бағаланған да моделдердің адекваттілігі асосланған. Күеш коллекторларды иссик пол тизимининг параметрлары оптималлаштырылғанда, унга күра күвүрнинң диаметри 0,016 м ва жойлашыннан кадамы 0,3 м, $Re=600-1000$ ($G=0,005-0,008$ кг/с) оптималь параметрлар экваленттік аникланған. Шундағы көлибі, таклиф этилган эмпирик болгындан иссик сұннинг түрли оқым режимларында күеш коллекторларды иссик пол тизимининг иссиклик-гидродинамик самарадорлығын бағаланған мүмкін.

ФОЙДАЛАНИЛГАН АДАБИЁТЛАР

1. S.I. Khamraev, U.Kh. Ibragimov, B.I. Kamolov. Removal of hydrodynamic lesions of a heated floor with a solar collector. APEC-V-2022. IOP Conf. Series: Earth and Environmental Science. **1070** (2022) 012018. doi:10.1088/1755-1315/1070/1/012018.
2. Михеев М.А., Михеева И.М. Основы теплопередачи. Изд. 2-е. М.: Энергия, 1977. – 344 с.
3. Водяной теплый пол. Проектирование, монтаж, настройка. 2020. www.valtek.ru
4. Каневец Г.Е. Обобщенные методы расчета теплообменников. – Киев: Наук. думка, 1979. - 352 с.
5. Aliyarova L A, Uzakov G N, Toshmamatov B M 2021 The efficiency of using a combined solar plant for the heat and humidity treatment of air *IOP Conf. Series: Earth and Environmental Science*. **723** 052002. doi:10.1088/1755-1315/723/5/052002.
6. G N Uzakov, S M Shomuratova and B M Toshmamatov 2021 Study of a solar air heater with a heat exchanger – accumulator *IOP Conf. Series: Earth and Environmental Science*. **723** (2021) 052013. doi:10.1088/1755-1315/723/5/052013.
7. Toshmamatov B.M., Shomuratova S.M., Mamedova D.N., Samatova S.H.Y., Chorieva S. 2022 Improving the energy efficiency of a solar air heater with a heat exchanger – Accumulator. **1045(1)**, 012081.

